

## 基盤の形状が表層地表面の振動に及ぼす影響について

立命館大学理工学部 正員 ○島山直隆

同 上 正員 芥生正巳

同 上 学生員 大同邦夫

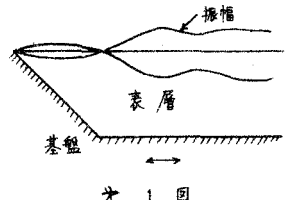
岩盤あるいは堅い洪積層の上に軟弱な沖積層が存在している場合にその基盤の形状によって入射した地震波が上層中にて増幅され地表面のある局所に著しく振幅の増大を来たしその附近の震害が大きくなる可能性がある。こうした震害はその沖積層の振動とその層を構成する土の振動時の挙動および地表上に築造された構造物の振動特性が相まって生ずることは言うまでもないことである。

実際に大地震によって被害を受けた地方の被害状況と地下構造の関係と調べてみると地層の硬軟、厚さ、地震波特性のみならず基盤層の形状によってもかなりの影響があつたと考えられる例がある。鳥取地震(1943.9.10.)による鳥取市附近、東海地震(1944.12.7.)と三河地震(1945.10.13.)による愛知県幡豆郡附近<sup>(1)</sup>、福井地震(1948.6.26.)による福井市附近<sup>(2)</sup>および秋田地震(1965.5.7.)による八郎潟干拓堤防など若干の資料がこの例を示している。

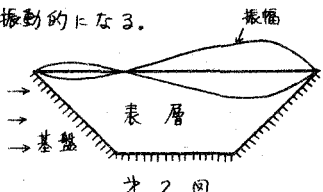
このような基盤層の形状やその大小による地表の震害状況が今後より研究によって明らかにされて行くならば物理探査やボーリングなどによって地下構造が判明するにしたがって予め震害を受け易い場所を判別することができ、そこに築造される構造物に対して特別な耐震的考慮と拂うことが可能となり震害の軽減を計ることができることである。

筆者は1964年来こうした基盤の形状による地表の振動の様子を知るために單純化された若干の例題を設定して数値計算を試みてきた。しかしながらこうした計算は少くとも三次元的に考へなければならぬので基盤の形状を手数を要し極度に単純化して行わざるを得ない。したがって表層は弹性体と仮定し、減衰の項は省略し、また上下方向変位を無視して水平方向変位のみを考えることとした。また計算には電子計算機を使用した。こうした表層の振動の様子は表層のスケールヒル入射波の伝播速度、波長などに因縁をもつが、計算結果のうち地表面の振幅のみに関する主な事項を挙げるとつきのようになる。

(1)水平な基盤が一端で45°に傾斜して地表に達する場合に基盤が一様に振動するものとしたとき地表面の水平方向振幅を上下方向に書き直して図示すればオ1図のようになる。すなわち傾斜面上方の振幅は常に大きくなり基盤の傾斜面と水平面の交点の上方の地表面よりかなり離れた位置に極大値を生ずる。さらに振動時間が長くなればこのより以遠の振幅はかなり一様となつてきて全体として次オにセン断振動的になる。



(2)逆台形の基盤中ま横波が伝播していく場合はオ2図に示すように最大振幅は片側の傾斜面上方地表面に生ずる。



(3)逆台形の基盤が一様に振動する場合はオ3図に示すように最大振幅は中央部に生ずるが、表層の長さが大となれば(1)に述べた傾向

と示す。

さらに上述の場合の補足計算と表層が二層からなる場合についての計算を行なつてゐるが、電子計算機使用の都合上あくまでも計算が終了していないので総合したこれらの結果は講演、際にプリントによつて示したい。

つぎに二層構造の場合の計算は運動方程式などはすでに発表してあるので省略し必要な階差式のみを示すことにする。

いま上層の縦波速度  $V_{p1} = 200 \text{ m/s}$ , 横波速度  $V_{S1} = 100 \text{ m/s}$ , 下層の縦波速度  $V_{p2} = 400 \text{ m/s}$ , 横波速度  $V_{S2} = 200 \text{ m/s}$  とし、上下水平方向区分間隔  $a = 2 \text{ m}$ , 時間々隔で  $= 0.003''$  とすればある時刻より  $0.003''$  だけ先の水平方向変位はこれを水平領域においてつきのように表わされる。

#### ○上層

$$U_{x+1, m_j, n_k} = 0.09(U_{x, m_j, n_{k+1}} + U_{x, m_j, n_{k-1}}) + 0.0225(U_{x, m_{j-1}, n_k} + U_{x, m_{j+1}, n_k}) + 1.775(U_{x, m_j, n_k}) - U_{x-1, m_j, n_k} \quad (1)$$

ただし  $i = 0, 1, 2, 3, \dots$ ;  $j = 0, 1, 2, 3, 4, 5, \dots$ ;  $k = 0, 1, 2, 3, \dots$

#### ○地表 ( $\partial u / \partial y = 0$ の條件より)

$$U_{x+1, m_0, n_k} = 0.09(U_{x, m_0, n_{k+1}} + U_{x, m_0, n_{k-1}}) + 0.045(U_{x, m_j, n_k}) + 1.775(U_{x, m_0, n_k}) - U_{x-1, m_0, n_k} \quad (2)$$

ただし  $i, k$  は (1) 式の場合と同じ

#### ○下層

$$U_{x+1, m_j, n_k} = 0.36(U_{x, m_j, n_{k+1}} + U_{x, m_j, n_{k-1}}) + 0.09(U_{x, m_{j-1}, n_k} + U_{x, m_{j+1}, n_k}) + 1.1(U_{x, m_j, n_k}) - U_{x-1, m_j, n_k} \quad (3)$$

ただし  $i = 0, 1, 2, 3, \dots$ ;  $j = 7, 8, 9, \dots, 13$ ;  $k = 0, 1, 2, 3, \dots$

#### ○境界過渡層 (変位と応力の連続条件より)

$$\text{上層側: } U_{x+1, m_0, n_k} = 0.09(U_{x, m_0, n_{k+1}} + U_{x, m_0, n_{k-1}}) + 0.0225(U_{x, m_j, n_k}) + 1.775(U_{x, m_0, n_k}) - U_{x-1, m_0, n_k} \quad (4)$$

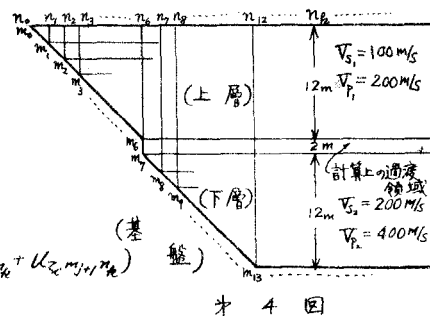
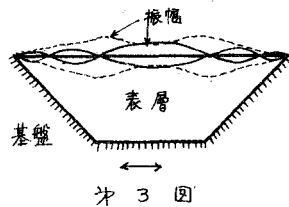
$$\text{下層側: } U_{x+1, m_0, n_k} = 0.36(U_{x, m_0, n_{k+1}} + U_{x, m_0, n_{k-1}}) + 1.19(U_{x, m_j, n_k}) + 0.09(U_{x, m_0, n_k}) - U_{x-1, m_0, n_k} \quad (5)$$

入射波周期  $T = 0.12'', 0.24''$  とし基盤が一様に振動する場合と基盤を  $\frac{1}{4}$  回左側より伝播してくれる横波が上下層内に入射する場合について計算を行なう。

使用計算機は OKITAC-5090 および MINITAC-7000 である。本研究は昭和40年度文部省科学研究費の補助を受けたことと付記する。

## 文献

- (1) 横尾・馬場・畠中: 島根市附近地盤調査、防災研報告、第2号、昭和24.11.
- (2) 柳橋・佐々木、横尾、西村: 東海地震及その余震における震害と地盤との関係、同上、第1号、昭和23.6.
- (3) 横尾・馬場: 福井市地盤調査、同上、第2号、昭和24.11.
- (4) 土質工学会: 軟弱地盤の土質調査法に関する研究、昭和39年度報告書
- (5) 島山・芦生: 傾斜基盤と有する表層地盤の振動計算例、第20回土木学会年次学術講演会概要、昭和40.5.
- (6) 島山・芦生: 地盤の振動伝播の数値計算例、第19回同上、昭和39.5.



第4図